

УДК 62.50

**МОДЕЛЬНАЯ ЗАДАЧА ИМПУЛЬСНОГО УПРАВЛЕНИЯ
С НЕПОЛНОЙ ИНФОРМАЦИЕЙ**

С. И. Кумков, В. С. Пацко

Рассматривается модельная задача преследования с импульсным управлением. Преследователь замеряет с ошибкой угловую скорость линии визирования и старается минимизировать величину промаха. Предполагается, что ошибка замера стеснена геометрическим ограничением. Задача формализуется как дифференциальная игра с неполной информацией. Предложены три варианта построения стратегий управления. В естественном частном случае все они переходят в одну и ту же стратегию, являющуюся оптимальной. Приведены результаты моделирования.

§ 1. Предварительное описание задачи

Рассмотрим задачу преследования на плоскости одной материальной точки другой с неполной информацией догоняющего P об убегающем E . Совместим начало разностной системы координат с преследователем. Условимся, что в начальный момент t_0 заданы номинальное (расчетное) положение E_{NOM} убегающего в разностной системе, а также номинальный вектор V_{NOM} разностной скорости. Будем считать, что вектор V_{NOM} , приложенный к точке E_{NOM} , направлен на точку P , т.е. к началу координат. Ось x разностной системы направим противоположно вектору V_{NOM} (рис. 1), ось z ортогональна оси x . Направления осей неизменны по t . Истинное положение E в начальный момент может отличаться от номинального, истинный вектор начальной разностной скорости — от предварительно заданного. Модуль вектора V_{NOM} обозначим через e .

Управляющее воздействие преследователя — импульсное. Преследователь скачком может изменять свою, а стало быть, и разностную скорость. Импульсы действуют перпендикулярно оси x , т.е. вдоль оси z . Такое направление действия импульсов обеспечивает экономное расходование ресурса в задаче минимизации промаха. Оговорена величина ΔT одного импульса и общее количество импульсов N . Таким образом, $N \Delta T$ — запас преследователя по изменению скорости. Векторное управляющее воздействие v убегающего с компонентами v_x , v_z имеет размерность ускорения и стеснено условием $v \in Q$, где Q — выпуклое замкнутое ограниченное множество, симметричное относительно нуля.

Управление преследователя реализуется в дискретной схеме. Пусть $k(t_i)$ — количество импульсов с предписанным знаком, поданное в момент t_i ($k(t_i)$ — либо целое отрицательное, либо целое положительное, либо нуль). По постановке задачи должно быть выполнено ограничение $\sum_i |k(t_i)| \leq N$. В каждый текущий дискретный момент t_i преследователь замеряет угловую скорость $\omega_M(t_i)$ линии визирования, проходящей через точки P и E . Замеряемое значение и истинная угловая скорость $\omega(t_i)$ связаны соотношением

$$\omega_M(t_i) = \omega(t_i) + \xi(t_i). \quad (1.1)$$

Здесь $\xi(t_i)$ – ошибка замера.

Возможны постановки, где в момент t_i замеряется с ошибкой угол визирования $\alpha(t_i)$ (рис. 1) или же одновременно угол визирования и угловая скорость линии визирования. В данной работе предполагаем, что замеряется только угловая скорость. Считаем, что ошибка замера стеснена ограничением

$$|\xi(t_i)| \leq c_1 |\omega(t_i)| + c_2, \quad 1 > c_1 \geq 0, \quad c_2 \geq 0. \quad (1.2)$$

Если $c_1 = 0$, то ограничение не зависит от значения истинной угловой скорости. Если равна нулю константа c_2 , то соотношение (1.2) задает ограничение на относительную ошибку замера угловой скорости.

Условимся, что начальное положение $(x(t_0), z(t_0))'$ разностной точки задано неточно и удовлетворяет геометрическому ограничению

$$(x(t_0), z(t_0))' \in B. \quad (1.3)$$

Аналогично, начальный вектор разностной скорости

$$(V_x(t_0), V_z(t_0))' \in D. \quad (1.4)$$

Здесь B , D – выпуклые замкнутые ограниченные множества. Соотношения (1.1)–(1.4) известны преследователю.

Цель преследования – минимизация промаха. Под промахом понимаем минимальное значение расстояния $\sqrt{x^2(t) + z^2(t)}$ в процессе движения. Требуется построить управление преследователя по принципу обратной связи, дающее удовлетворительное решение игровой задачи минимизации промаха в условиях неполной информации.

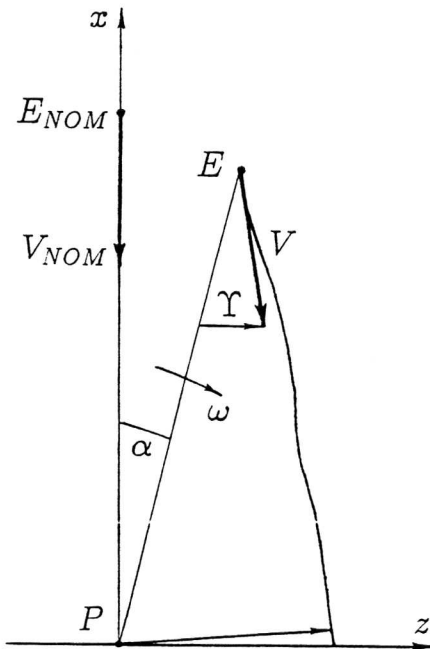


Рис. 1. Движение разностной точки.

Исследование задачи проведем при следующем упрощающем предположении. Будем считать относительно малым изменение вектора разностной скорости, возникающее в процессе движения за счет управлений преследователя и убегающего (слабая управляемость). Предположим также относительно малым размер множества D и размах по оси z множества B .

В статье будет дана формализованная постановка задачи в рамках вспомогательной антагонистической дифференциальной игры двух лиц с неполной информацией. Для вспомогательной игры введены понятия наилучшего гарантированного результата и оптимальных стратегий первого и второго игроков. Предложены стратегии, переходящие в частном случае в оптимальные. Стратегии вспомогательной игры используются в исходной системе. В примере, для которого представлены результаты моделирования, взяты: $e = 5000\text{м/c}$, $\Delta \Upsilon = 5 \text{ м/c}$, $N = 70$ имп., время процесса примерно 16 с.

Главная особенность дифференциальных игр с неполной информацией [1–10] состоит в том, что позицией игры является множество, а не точка, как в "обычных" дифференциальных играх. Это существенно усложняет исследование. Изучаемая в статье задача — одна из немногих (см. также [4, 6, 7]), для которых удается найти оптимальное решение хотя бы в частном случае.

Отметим, что близкая по содержанию задача в предположении о стохастическом характере ошибки замера изучалась в [11, 12] с использованием фильтрации Калмана.

§ 2. Исходные уравнения динамики. Уравнения динамики для вспомогательной дифференциальной игры

Уравнения динамики в разностных координатах x , z имеют вид

$$\begin{aligned}\ddot{z}(t) &= v_z - \Delta \Upsilon \sum_i k(t_i) \delta(t - t_i), \\ \ddot{x}(t) &= v_x, \\ \sum_i |k(t_i)| &\leq N, \quad (v_x, v_z)' \in Q.\end{aligned}\tag{2.1}$$

Здесь δ — символ дельта-функции. Подсоединим к (2.1) соотношения (1.1)–(1.4), характеризующие неполноту информации:

$$\omega_M(t_i) = \omega(t_i) + \xi(t_i), \quad |\xi(t_i)| \leq c_1 |\omega(t_i)| + c_2, \tag{2.2}$$

$$(x(t_0), z(t_0))' \in B, \quad (V_x(t_0), V_z(t_0))' \in D. \tag{2.3}$$

Перепишем систему (2.1) в координатах α , ω , x , V_x :

$$\dot{\alpha}(t) = \omega(t),$$

$$\dot{\omega}(t) = -2V_x(t)\omega(t)/x(t) - 2\tan\alpha(t)\omega^2(t) - \sin\alpha(t)\cos\alpha(t)v_x/x(t) +$$

$$\begin{aligned}
& + \cos^2 \alpha(t) v_z / x(t) - (\cos^2 \alpha(t) \Delta \Upsilon / x(t)) \sum_i k(t_i) \delta(t - t_i), \\
\dot{x}(t) &= V_x(t), \\
\dot{V}_x(t) &= v_x, \\
\sum_i |k(t_i)| &\leq N, \quad (v_x, v_z)' \in Q.
\end{aligned} \tag{2.4}$$

Переходя к описанию динамики для вспомогательной дифференциальной игры, упростим систему (2.4). Учтем при этом содержательное предположение о слабой управляемости.

В исследуемой задаче преследователь заинтересован в минимизации промаха. Допущение о слабой управляемости приводит к тому, что (с учетом направления вектора V_{NOM} вдоль оси x) подсчет промаха на конкретном движении можно приближенно заменить подсчетом модуля координаты z в момент пересечения движением оси z (рис. 1). При этом на величину промаха более существенное влияние оказывает изменение скорости по оси z , чем по оси x . Таким образом, упрощая систему (2.4), можем считать $V_z(t_0)$ точно известным и совпадающим с $V_{NOMz} = -e$, а управляющее воздействие v_x – тождественно равным нулю. Изменение координаты x опишется соотношением $x(t) = x(t_0) - e(t - t_0)$.

Далее, предположение о слабой управляемости позволяет считать угол α малым на длительном промежутке интервала движения, начиная от начального момента. В самом деле, пусть в некоторый момент t_* угол α большой. Тогда ввиду малости конуса, в котором может идти будущее движение (ось конуса близка к вертикальной), промах в конце будет заранее значительным, причем тем больше, чем больше время до конца от момента t_* . Следовательно, если нас интересуют не слишком большие промахи, можем считать угол α малым, и в упрощенной постановке вспомогательной задачи заменим $\sin \alpha$ и $\operatorname{tg} \alpha$ на нуль, а $\cos \alpha$ на единицу. Поскольку замеряемой величиной является ω , а угол α не будет теперь входить в соотношение для $\dot{\omega}$, то уравнение $\dot{\alpha}(t) = \omega(t)$ можно опустить. Условимся, наконец, что в упрощенной постановке v_z выбирается из отрезка $[-\nu, \nu]$ – проекции множества Q на ось z . Окончательно получим:

$$\begin{aligned}
\dot{\omega}(t) &= 2e\omega(t)/x(t) + v_z/x(t) - (\Delta \Upsilon/x(t)) \sum_i k(t_i) \delta(t - t_i), \\
x(t) &= x(t_0) - e(t - t_0), \\
\sum_i |k(t_i)| &\leq N, \quad |v_z| \leq \nu.
\end{aligned} \tag{2.5}$$

При импульсном воздействии в момент t_i координата ω изменяется скачком на величину $-k(t_i) \Delta \Upsilon / x(t_i)$.

Таким образом, описана динамика вспомогательной дифференциальной игры. Соотношения неполноты информации для нее примем в виде

$$\begin{aligned}
\omega_M(t_i) &= \omega(t_i) + \xi(t_i), \quad |\xi(t_i)| \leq c_1 |\omega(t_i)| + c_2, \\
x(t_0) &\in [x_0, x^0], \quad \omega(t_0) \in A(x(t_0)).
\end{aligned}$$

Здесь $[\mathbf{x}_0, \mathbf{x}^0]$ – проекция множества B на ось \mathbf{x} , $A(\mathbf{x}(t_0))$ – некоторый отрезок (оценка сверху), содержащий в себе для конкретного $\mathbf{x}(t_0)$ все начальные значения $\omega(t_0)$ угловой скорости, возможные в силу ограничений (2.3).

§ 3. Информационное множество. Постановка вспомогательной дифференциальной игры с неполной информацией

Перейдем к формулировке вспомогательной дифференциальной игры двух лиц, в которой состоянием в момент t_i будет пара: информационное множество на плоскости ω, \mathbf{x} и количество оставшихся импульсов.

Информационное множество. Считаем ось ω горизонтальной, ось \mathbf{x} – вертикальной. Зафиксируем параметр $\epsilon > 0$. В качестве начального информационного множества $G(t_0)$ возьмем произвольное ограниченное замкнутое множество на плоскости ω, \mathbf{x} ($\mathbf{x} \geq \epsilon$), сечение которого при любом \mathbf{x} представляет собой отрезок.

Пусть теперь в пространстве ω, \mathbf{x} ($\mathbf{x} \geq \epsilon$) задано ограниченное замкнутое множество $G(t_i)$, $i \geq 0$, сечение которого при любом \mathbf{x} есть отрезок. Таким образом, $G(t_i)$ – объединение отрезков, параллельных оси ω . В момент t_i поступает замер $\omega_M(t_i)$. Обозначим через $S(t_i)$ соответствующее замеру множество неопределенности – совокупность всех точек на плоскости ω, \mathbf{x} , для каждой из которых замер $\omega_M(t_i)$ возможен в соответствии с формулами $\omega_M(t_i) = \omega + \xi$, $|\xi| \leq c_1 |\omega| + c_2$. Множество S представляет собой вертикальную полосу. Его проекция S_ω на ось ω описывается соотношениями

$$S_\omega = \begin{cases} [(\omega_M - c_2)/(1 + c_1), (\omega_M + c_2)/(1 - c_1)], & \text{если } \omega_M \geq c_2, \\ [(\omega_M - c_2)/(1 - c_1), (\omega_M + c_2)/(1 - c_1)], & \text{если } -c_2 < \omega_M < c_2, \\ [(\omega_M - c_2)/(1 - c_1), (\omega_M + c_2)/(1 + c_1)], & \text{если } \omega_M \leq -c_2. \end{cases}$$

Размах S_ω зависит от ω_M . Положим

$$I(t_i) = G(t_i) \cap S(t_i).$$

При этом условимся, что такое пересечение не пусто.

В момент t_i (или точнее $t_i + 0$, после получения замера) первый игрок, распоряжающийся выбором импульсов, может применить свое управление. Тогда множество $I(t_i)$ перейдет в множество $H(t_i)$. Преобразование $I(t_i) \rightarrow H(t_i)$ есть перенос каждого отрезка (при постоянном \mathbf{x}) на величину $-k(t_i)\Delta T/\mathbf{x}$ вдоль оси ω . В множестве $H(t_i)$ выделим часть $J_\epsilon(t_i)$, лежащую строго ниже уровня $\mathbf{x} = \epsilon + e(t_{i+1} - t_i)$. Эта часть в момент t_{i+1} уйдет под уровень ϵ . Положим $H_\epsilon(t_i) = H(t_i) \setminus J_\epsilon(t_i)$.

Определим $G(t_{i+1})$ как прогноз положения системы (2.5) на момент t_{i+1} при состоянии $H_\epsilon(t_i)$ в момент t_i и при нулевом управлении первого игрока на $(t_i, t_{i+1}]$. При построении $G(t_{i+1})$ каждый отрезок из $H_\epsilon(t_i)$ опускается по \mathbf{x} на величину $e(t_{i+1} - t_i)$. Координата по оси ω его левого края принимает значение

$$\omega_*(t_{i+1}) = \omega_*(t_i) \frac{\mathbf{x}^2(t_i)}{\mathbf{x}^2(t_{i+1})} - \frac{\nu(t_{i+1} - t_i)}{\mathbf{x}^2(t_{i+1})} \left(\mathbf{x}(t_i) - \frac{e}{2}(t_{i+1} - t_i) \right).$$

Здесь $\omega_*(t_i)$ – координата левого края рассматриваемого отрезка в момент t_i . Соответственно, положение $\omega^*(t_i)$ правого края меняется на

$$\omega^*(t_{i+1}) = \omega^*(t_i) \frac{x^2(t_i)}{x^2(t_{i+1})} + \frac{\nu(t_{i+1} - t_i)}{x^2(t_{i+1})} \left(x(t_i) - \frac{\epsilon}{2}(t_{i+1} - t_i) \right).$$

Каждое из множеств $G(t_i)$, $I(t_i)$, $H(t_i)$, $H_\epsilon(t_i)$ назовем информационным (до замера, после замера, после импульсов, после ϵ -отсечки). Множество $G(t_i)$ будем называть также множеством прогноза.

Таким образом, рекуррентно определена последовательность информационных множеств. Рис. 2 иллюстрирует переход от множества $G(t_i)$ к множеству $G(t_{i+1})$.

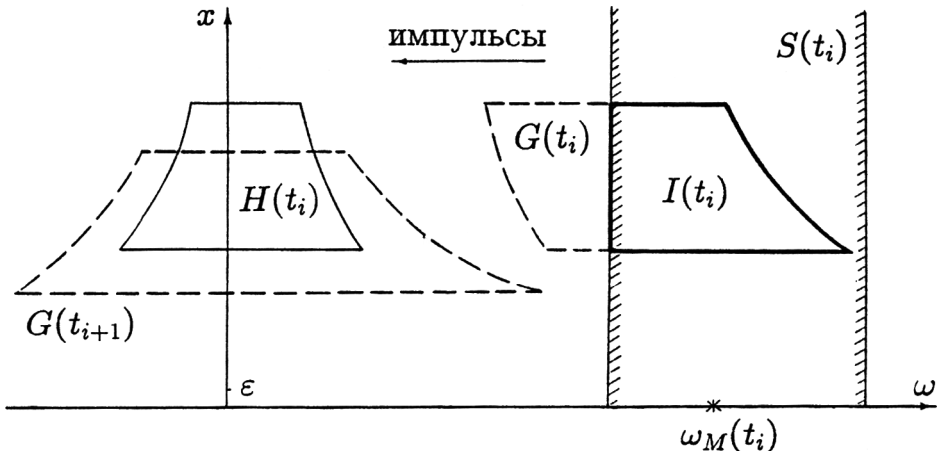


Рис. 2. Построение информационных множеств.

В дифференциальной игре с неполной информацией под движением системы будем понимать изменение во времени информационного множества и количества оставшихся импульсов. Первый игрок распоряжается выбором импульсного управления, второй – подбрасыванием замеров. Влияние параметра v_x учтываем при построении множеств $G(t_i)$. Так как управление первого игрока импульсное, важно разделить во времени действия игроков. Считаем, что импульсное управление в момент t_i применяется после замера, поступившего в этот момент. Введение параметра ϵ обусловлено тем, что в рассматриваемой задаче окончание связано с прохождением уровня $x = 0$, а система (2.5) имеет особенность при $x = 0$.

Допустимые стратегии. Позицией игры для первого игрока назовем совокупность (t_i, n, I) , где t_i – момент времени, n – количество оставшихся импульсов, I – информационное множество после замера. Допустимой стратегией первого игрока назовем правило $U : (t_i, n, I) \rightarrow k$, сопоставляющее позиции игры количество импульсов с определенным знаком, $|k| \leq n$.

Позицией игры для второго игрока условимся считать совокупность (t_i, n, G) . Здесь G – информационное множество до замера (множество прогноза). Допустимой стратегией второго игрока назовем правило $\Omega :$

Далее

$$L^{(1)}(t_0, n(t_0), G(t_0), U) = \overline{\lim}_{\epsilon \rightarrow 0} F^{(1)}(t_0, n(t_0), G(t_0), U, \epsilon),$$

$$\Gamma^{(1)}(t_0, n(t_0), G(t_0)) = \inf_U L^{(1)}(t_0, n(t_0), G(t_0), U).$$

Аналогично за второго игрока:

$$F^{(2)}(t_0, n(t_0), G(t_0), \Omega, \epsilon) = \liminf_{\Delta \rightarrow 0} \inf_U \Phi(t_0, n(t_0), G(t_0), U, \Omega, \epsilon, \Delta).$$

$$L^{(2)}(t_0, n(t_0), G(t_0), \Omega) = \lim_{\epsilon \rightarrow 0} F^{(2)}(t_0, n(t_0), G(t_0), \Omega, \epsilon),$$

$$\Gamma^{(2)}(t_0, n(t_0), G(t_0)) = \sup_{\Omega} L^{(2)}(t_0, n(t_0), G(t_0), \Omega).$$

Величины $\Gamma^{(1)}$, $\Gamma^{(2)}$ определяют наилучшие гарантированные результаты первого и второго игроков во вспомогательной задаче. Стратегии, на которых достигаются наилучшие гарантированные результаты, назовем оптимальными.

Отметим упрощение, возникающее в частном случае, когда $x(t_0)$ предполагается известным точно, т.е. при $x_0 = x^0$. В этом случае информационное множество состоит из одного отрезка; момент окончания в игре становится зафиксированным и равным $t_0 + x(t_0)/e$; при заданных ϵ , Δ существует единственный момент t_i , когда $J_\epsilon(t_i) \neq \emptyset$.

§ 4. Несколько вариантов стратегий первого игрока

Укажем три варианта построения стратегий первого игрока во вспомогательной дифференциальной игре. Стратегии не являются оптимальными. Они получены из эмпирических соображений, имеют аналоги в "обычной" теории дифференциальных игр, просты по реализации. В частном случае $x_0 = x^0$ рассматриваемые стратегии переходят в одну и ту же стратегию, являющуюся оптимальной.

Стратегия поддержания симметрии прогнозируемого промаха. Обозначим через $\partial^* I$ совокупность правых концов отрезков, из которых составлено множество I . Аналогично, $\partial_* I$ – совокупность левых концов. Положим

$$\pi^*(I) = \max_{(\omega, x) \in \partial^* I} \left\{ \frac{\omega x^2}{e} + \frac{\nu}{2} \left(\frac{x}{e} \right)^2 \right\}, \quad (4.1)$$

$$\pi_*(I) = \min_{(\omega, x) \in \partial_* I} \left\{ \frac{\omega x^2}{e} - \frac{\nu}{2} \left(\frac{x}{e} \right)^2 \right\}. \quad (4.2)$$

Символами (ω^*, x^*) , (ω_*, x_*) обозначим точки, на которых достигается максимум в (4.1) и минимум в (4.2). Отрезок с концами $\pi_*(I)$, $\pi^*(I)$ назовем отрезком прогнозируемого промаха, соответствующим множеству I .

$(t_i, n, G) \rightarrow \omega_M$, сопоставляющее позиции игры замер ω_M . При этом потребуем, чтобы $G \cap S \neq \emptyset$, где S – множество неопределенности, построенное по ω_M .

Задав пару допустимых стратегий U, Ω , шаг Δ (связывающий соседние дискретные моменты времени t_i и t_{i+1}), параметр ϵ и начальную позицию $(t_0, n(t_0), G(t_0))$, можем говорить о движении системы во времени.

Функция платы. Определим на движении вспомогательной дифференциальной игры значение платы. Для произвольной пары ω, x ($x > 0$) положим

$$\Pi(\omega, x) = \frac{|\omega| x^2}{e}. \quad (3.1)$$

Величина $\Pi(\omega, x)$ приближенно имеет смысл пассивного прогнозируемого промаха из состояния ω, x , т.е. промаха при пересечении оси z свободным движением системы (2.5). Для точного подсчета пассивного прогнозируемого промаха следовало бы помимо ω, x задать угол α : $|\omega| x^2 / (e \cos^2 \alpha)$. Смысл формулы понятен из того, что $\omega x / \cos^2 \alpha$ – величина нескомпенсированной линейной скорости Υ (рис. 1), а x/e – время, оставшееся до пересечения оси z . Пренебрегая малым углом α , получаем формулу (3.1). Пусть

$$\hat{\Pi}(\omega, x) = \Pi(\omega, x) + \frac{\nu}{2} \left(\frac{x}{e} \right)^2.$$

Добавка $\nu(x/e)^2/2$ – максимально возможное увеличение промаха за счет ускорения v_z , $|v_z| \leq \nu$. Произвольному множеству K в пространстве ω, x ($x > 0$) поставим в соответствие число

$$\check{\Pi}(K) = \sup_{(\omega, x) \in K} \hat{\Pi}(\omega, x).$$

Для конкретного движения информационного множества символом T_ϵ обозначим совокупность моментов t_i таких, что $J_\epsilon(t_i) \neq \emptyset$. Число

$$\Phi(t_0, n(t_0), G(t_0), U, \Omega, \epsilon, \Delta) = \max_{t_i \in T_\epsilon} \check{\Pi}(J_\epsilon(t_i))$$

назовем промахом, соответствующим начальной позиции $(t_0, n(t_0), G(t_0))$, стратегиям U, Ω , дисcretу Δ и параметру ϵ .

Поясним смысл величины Φ . При заданном ϵ фактически считаем, что импульсное управление перестает действовать после момента t_i для части информационного множества, которая в момент t_{i+1} окажется ниже уровня ϵ . Одноточечные движения, развивающиеся из этой части, как бы заканчиваются, в то время как движения из части выше уровня ϵ продолжаются. Множество $J_\epsilon(t_i)$ и определяет заканчивающиеся одноточечные движения. Плата для $J_\epsilon(t_i)$ естественно вводится как $\check{\Pi}(J_\epsilon(t_i))$. Затем берем максимум по моментам t_i , для которых $J_\epsilon(t_i)$ не пусто.

Наилучшие гарантированные результаты игроков. Гарантию первого игрока при зафиксированных $t_0, n(t_0), G(t_0), U, \epsilon$ определим соотношением

$$F^{(1)}(t_0, n(t_0), G(t_0), U, \epsilon) = \overline{\lim}_{\Delta \rightarrow 0} \sup_{\Omega} \Phi(t_0, n(t_0), G(t_0), U, \Omega, \epsilon, \Delta).$$

Если в текущий момент первый игрок применяет управление из k импульсов, то промах для бывшей максимирующей точки в (4.1) изменится мгновенно на величину

$$\frac{\Delta \omega x^{*2}}{e} = -\frac{k \Delta \Upsilon x^{*2}}{x^* e} = -\frac{k \Delta \Upsilon x^*}{e},$$

а для минимизирующей точки в (4.2) – на величину

$$\frac{\Delta \omega x_*^2}{e} = -\frac{k \Delta \Upsilon x_*}{e}.$$

Составим соотношение симметрии

$$\pi^* - \frac{k \Delta \Upsilon x^*}{e} = -\left(\pi_* - \frac{k \Delta \Upsilon x_*}{e}\right).$$

Разрешая его относительно целочисленного неизвестного k , получим

$$k_s = \left[\frac{(\pi^* + \pi_*)e}{(x^* + x_*)\Delta \Upsilon} \right]. \quad (4.3)$$

Здесь квадратные скобки означают целую часть.

Стратегию U_s поддержания симметрии прогнозируемого промаха определим как функцию, сопоставляющую позиции (t_i, n, I) число k_s , вычисляемое по формуле (4.3), если $|k_s| \leq n$, и число $n \text{sign} k_s$, если $|k_s| > n$.

Стратегия U_s введена при помощи вспомогательной величины – прогнозируемого промаха и учитывает “одномерность” этой величины. Понятие прогнозируемого промаха используется очень часто как в инженерной практике, так и в теоретических работах [13, 14]. В дифференциальных играх аналогом введенной стратегии может служить стратегия, доставляющая оптимальное решение в задаче “мальчик и крокодил” [15].

Отметим, что в (4.1) или в (4.2) экстремум может достигаться не обязательно на одном элементе. Тогда в качестве (ω^*, x^*) или (ω_*, x_*) берем любой из них. При этом определяемое по формуле (4.3) число k_s может зависеть от выбранной экстремальной точки.

Уточним вид стратегии U_s при $x_0 = x^0$. В этом случае I – отрезок. Следовательно $x_* = x^* = x$ и

$$k_s = \left[\frac{(\omega^* + \omega_*)x^2 e}{e 2 x \Delta \Upsilon} \right] = \left[\frac{(\omega^* + \omega_*)x}{2 \Delta \Upsilon} \right].$$

Полусумма $(\omega^* + \omega_*)/2$ – центр отрезка I по оси ω , обозначим его ω_c . Таким образом,

$$k_s = \left[\frac{\omega_c x}{\Delta \Upsilon} \right]. \quad (4.4)$$

Поскольку $\Delta \Upsilon/x$ – изменение ω (по модулю) при действии одного импульса, то вычисления по формуле (4.4) можно трактовать как сравнение величины ω_c (с учетом знака) с порогом, равным эффективности одного импульса.

Стратегия U_s является оптимальной для случая $x_0 = x^0$. Доказательство этого факта является достаточно длинным и будет опубликовано

в отдельной работе. Если $x^0 - x_0$ мало, стратегию U_s можно считать квазиоптимальной.

Стратегия, основанная на расчете точки максимума некомпенсируемого промаха. Для каждой позиции (t_i, n, I) введем величину

$$\tilde{\pi}(n, I) = \max_{(\omega, x) \in I} \left\{ \frac{|\omega| x^2}{e} + \frac{\nu}{2} \left(\frac{x}{e} \right)^2 - \frac{n \Delta T x}{e} \right\}. \quad (4.5)$$

Первые два слагаемых в фигурных скобках дают прогноз промаха (по модулю) при нулевом управлении первого игрока. Третье – максимально возможную компенсацию за счет управления первого игрока. В целом выражение в фигурных скобках имеет смысл некомпенсируемого промаха для точки (ω, x) и может принимать отрицательные значения. Пусть $(\tilde{\omega}, \tilde{x})$ – точка из I , на которой реализуется максимум в (4.5). Выделим в I отрезок, содержащий (на своем краю) точку $(\tilde{\omega}, \tilde{x})$. Пусть $\tilde{\omega}_c$ – центр этого отрезка по координате ω . Положим

$$\tilde{k} = \begin{bmatrix} \tilde{\omega}_c \tilde{x} \\ \Delta T \end{bmatrix}. \quad (4.6)$$

Значение стратегии \tilde{U} в позиции (t_i, n, I) примем равным \tilde{k} , если $|\tilde{k}| \leq n$, и $n \operatorname{sign} \tilde{k}$, если $|\tilde{k}| > n$.

Используя стратегию \tilde{U} , в каждый момент t_i выделяем из информационного множества $I(t_i)$ отрезок, на котором реализуется максимум некомпенсируемого промаха. Его центр по координате ω сравниваем с порогом, соответствующим этому отрезку. Вырабатываемое управляющее воздействие переводит центр (с учетом дискретности импульсов) в нуль. В дифференциальных играх аналогом такой стратегии в какой-то мере может служить стратегия прицеливания по наихудшей точке, просчитываемой через множества достижимости [1]. В частном случае $x_0 = x^0$ стратегия \tilde{U} совпадает со стратегией U_s и является оптимальной.

Стратегия эмпирической логики выбора отрезка. Укажем еще одно, эмпирическое, правило выбора отрезка из информационного множества, учитывающее относительный размах множества по x .

Пусть x^{**} , x_{**} – максимальное и минимальное значения координаты x в информационном множестве I (более точно: $x^{**}(I)$, $x_{**}(I)$). Величина

$$\eta = \frac{x^{**}}{x_{**}} = \frac{e \tau^{**}}{e \tau_{**}} = \frac{\tau^{**}}{\tau_{**}}$$

имеет смысл оценки отношения максимального τ^{**} и минимального τ_{**} времени до конца процесса.

Задав вспомогательную эмпирическую зависимость

$$\eta \rightarrow s(\eta) : \eta \geq 1, \quad s(\eta) \in [0, 1], \quad s(1) = 1,$$

можем при помощи формулы

$$x(\eta) = s(\eta)(x^{**} - x_{**}) + x_{**}$$

выбирать отрезок из I как функцию от η . Например, если $s(\eta) = 1/\eta$, то при $\eta \approx 1$ выбираем отрезок с координатой x , близкой к x^{**} , а при достаточно большом η – с координатой x , близкой к x_{**} .

Взяв отрезок, соответствующий $x(\eta)$, находим его центр $\omega_c(\eta)$ по ω , далее аналогично (4.6) вычисляем

$$k_e = \left[\frac{\omega_c(\eta)x(\eta)}{\Delta \Upsilon} \right], \quad (4.7)$$

определеня тем самым значение стратегии U_e в рассматриваемой позиции.

В случае $x_0 = x^0$ информационное множество состоит из одного отрезка, поэтому $\eta = 1$ и значение k_e , найденное по формуле (4.7), совпадает с результатами вычислений по формулам (4.4), (4.6).

§ 5. Стратегия второго игрока

Опишем один вариант построения стратегии второго игрока во вспомогательной дифференциальной игре. Этот способ, так же, как и второй из сформулированных выше законов управления первого игрока, основан на выборе точки, на которой достигается максимум некомпенсируемого промаха. Отличие в том, что наихудшая точка будет выбираться не в множестве I , а в множестве G .

Пусть $(\bar{\omega}, \bar{x})$ – точка из G , на которой достигается максимум выражения

$$\bar{\pi}(n, G) = \max_{(\omega, x) \in G} \left\{ \frac{|\omega| x^2}{e} + \frac{\nu}{2} \left(\frac{x}{e} \right)^2 - \frac{n \Delta \Upsilon x}{e} \right\}.$$

Выделим из G отрезок, содержащий $(\bar{\omega}, \bar{x})$, спроектируем его на ось ω . Если $\bar{\omega}$ – правый край такой проекции, то выберем $\omega_M \leq \bar{\omega}$ так, чтобы проекция S_ω множества неопределенности $S(\omega_M)$ на ось ω содержала $\bar{\omega}$ на своем правом краю. Если $\bar{\omega}$ – левый край, то выберем $\omega_M \geq \bar{\omega}$ так, чтобы $\bar{\omega}$ лежала на левом краю проекции S_ω . Такое подбрасывание замера обеспечивает попадание точки $(\bar{\omega}, \bar{x})$ в информационное множество $I = G \cap S$. Символом $\bar{\Omega}$ обозначим стратегию второго игрока, основанную на выборе точки $(\bar{\omega}, \bar{x})$. В частном случае $x_0 = x^0$ стратегия $\bar{\Omega}$ является оптимальной.

§ 6. Результаты моделирования

Моделируется движение системы (2.1), неполнота информации задается соотношениями (2.2), (2.3). Формулы алгоритмов управления взяты из вспомогательной дифференциальной игры с неполной информацией. Предусмотрена возможность задания нескольких вариантов формирования замеров (в том числе на основе стратегии второго игрока из вспомогательной дифференциальной игры), а также управляющих воздействий v_x и v_z убегающего.

Перечень исходных данных (в разностных координатах):

- номинальное начальное расстояние по вертикали $z_{NOM} = 80000$ м,
- множество, ограничивающее возможные начальные положения,

$$B = \{(x, z) : |x - 80000| \leq 10000, |z| \leq 2000\},$$

– номинал вектора начальной скорости по вертикали $V_{NOM_z} = -5000$ м/с,

– множество, ограничивающее возможные начальные скорости,

$$D = \{(V_x, V_z) : |V_x + 5000| \leq 100, |V_z| \leq 100\},$$

- величина одного импульса $\Delta T = 5 \text{ м/c}$,
- количество импульсов $N = 70$,
- множество, ограничивающее ускорения убегающего,

$$Q = \{(v_x, v_z) : |v_x| \leq \mu, |v_z| \leq \nu\}, \quad \mu = 2, \quad \nu = 2,$$

- константы в ограничении на максимальную величину погрешности замера угловой скорости линии визирования $c_1 = 0.3, c_2 = 0.0008 \text{ рад/c}$.

Указанные исходные данные известны преследователю. Подчеркнем, что B, D – предварительно заданные множества, в которых должны лежать положение и скорость разностной точки. Какой-либо более точной информацией преследователь (до начала процесса) не обладает.

Будем применять за преследователя три способа управления по принципу обратной связи, соответствующих тем, что введены в § 4. Выберем шаг Δ дискретной схемы наблюдения и управления равным 0.1 с.

Начальное информационное множество $G(t_0)$: $[x_0, x^0] = [70000, 90000]$, сечение при любом $x \in [x_0, x^0]$ – отрезок, крайние точки (в проекции на ось ω) возьмем в виде

$$\omega_0(x) = \frac{-100x - 5100 \cdot 2000}{x^2}, \quad \omega^0(x) = \frac{100x + 5100 \cdot 2000}{x^2}.$$

Поскольку истинное значение угловой скорости в момент t подсчитывается по формуле

$$\omega(t) = \frac{\dot{z}(t)x(t) - \dot{x}(t)z(t)}{x^2(t) + z^2(t)},$$

то $G(t_0)$ охватывает все возможные положения пар $\omega(t_0), x(t_0)$ на плоскости ω, x , согласованные с ограничениями (2.3) при указанных выше множествах B, D .

Информационное множество при численной реализации задается конечным числом отрезков. В представленных ниже результатах количество отрезков в начальном множестве $G(t_0)$ принято равным 21. По ходу процесса число отрезков в информационном множестве может убывать. Если в какой-то момент число отрезков становится меньше заданного числа (в нашем случае 11), вводятся дополнительные, чтобы общее число отрезков удвоилось. В алгоритме построения информационных множеств используем величину ограничения на ускорение убегающего по оси z несколько больше заданной, а именно 2.5 м/c^2 вместо 2 м/c^2 . Это делается для того, чтобы обеспечить невырождение информационных множеств при численной реализации. Возьмем порог $\epsilon = 500 \text{ м}$. Управление преследователя прекращается, когда информационное множество, просчитываемое им по формулам § 3, целиком уходит по координате x под уровень ϵ , или же когда расстояние от истинной разностной точки $(x(t), z(t))'$ до нуля становится меньше ϵ . Последнее условие ранее не упоминалось. Оно учитывает тот факт, что при малом расстоянии до убегающего преследователь перестает получать информацию об угловой скорости линии визирования.

Говоря о способах формирования замеров $\omega_M(t_i)$, $i = 0, 1, 2, \dots$, и управляющих воздействий v_x и v_z , укажем два варианта.

1). Значение $\omega_M(t_i)$ в каждый момент t_i вырабатывается при помощи датчика случайных чисел с равномерным распределением в диапазоне

$[\omega(t_i) - \chi, \omega(t_i) + \chi]$, где $\chi = c_1 |\omega(t_i)| + c_2$, а $\omega(t_i)$ – истинная угловая скорость. Воздействия v_x и v_z являются постоянными на всем интервале времени и выбираются в начальный момент t_0 из множества Q при помощи датчика случайных чисел с равномерным распределением.

2). Второй вариант формирования ω_M , v_x , v_z назовем игровым. В этом варианте ω_M вырабатывается подобно правилу построения стратегии $\bar{\Omega}$, описанному в § 5, но с учетом дополнительного требования (там отсутствовавшего), что замер $\omega_M(t_i)$ должен лежать в промежутке $[\omega(t_i) - \chi, \omega(t_i) + \chi]$. Выбор ω_M : если точка $(\bar{\omega}, \bar{x})$ лежит на правом (левом) краю множества $G(t_i)$, то задаем $\omega_M(t_i)$ так, чтобы правый (левый) край множества неопределенности $S(\omega_M(t_i))$ был максимально приближен к этой точке. Выбор управляющих воздействий v_x , v_z определим следующим образом. Если $x(t_0) \geq (x_0 + x^0)/2$, положим $v_x \equiv \mu$; в случае $x(t_0) < (x_0 + x^0)/2$ пусть $v_x \equiv -\mu$. Таким образом, управление v_x постоянно на всем промежутке движения. Управление v_z выбираем заново в каждый момент t_i и держим постоянным на $[t_i, t_{i+1})$: если просчитанная на момент t_{i+1} точка $(\bar{\omega}, \bar{x})$ лежит на правом краю множества $G(t_{i+1})$, примем $v_z(t_i) = \nu$; если на левом, то $v_z(t_i) = -\nu$.

Текущее значение $\omega(t_i)$ истинной угловой скорости линии визирования вычисляем по координатам $x(t_i)$, $z(t_i)$, $\dot{x}(t_i)$, $\dot{z}(t_i)$ системы (2.1).

Поскольку результаты преследования в каждой отдельной реализации носят "случайный" характер (многое зависит, в частности, от последнего импульса перед прохождением уровня ϵ), то эффективность того или иного выбранного закона управления будем оценивать при помощи статистического моделирования. Суть его в следующем. Фиксируем способ управления преследователя, а также один из вариантов формирования замеров и ускорений убегающего. Задаем некоторые подмножества B° , D° множеств B , D . Просчитываем 100 реализаций движения. Разброс начальных положений и скоростей осуществляем в множествах B° , D° при помощи датчика случайных чисел с равномерным распределением. Для каждой реализации движения подсчитываем минимальное расстояние вдоль движения (фактический промах) и количество истраченных импульсов. По 100 реализациям строим интегральный закон распределения вероятностей промаха в практически интересном интервале от 0 до 5 м. Реализации с промахом больше 5 м проявляются в том, что график закона не достигает единицы. Энергетические затраты преследователя характеризуем графиком интегрального закона распределения вероятностей расхода импульсов.

Приведем результаты статистического моделирования для случая, когда

$$B^\circ = \{(x, z) : |x - 80000| \leq 25, |z - 100| \leq 25\},$$

$$D^\circ = \{(V_x, V_z) : |V_x + 5000| \leq 5, |V_z - 10| \leq 5\}.$$

Таким образом, фактический разброс осуществляем вблизи начального положения $x = 80000$ м, $z = 100$ м и начальной скорости $V_x = -5000$ м/с, $V_z = 10$ м/с. Множества B° , D° неизвестны преследователю.

Графики законов распределения вероятностей промаха и числа истраченных импульсов представлены на рис. 3. Используются следующие обозначения способов управления преследователя: SM – управление, основанное на стратегии поддержания симметрии прогнозируемого

промаха, MN – способ, базирующийся на расчете точки максимума не-компенсируемого промаха, EM – эмпирический выбор отрезка из информационного множества. В эмпирическом способе функция s взята в виде $s(\eta) = 1/\eta$. Первый (второй) вариант формирования замеров и ускорений убегающего обозначим через RN (GM). Для сочетания MN–GM в большинстве реализаций 70 импульсов растрачиваются намного раньше момента окончания процесса, поэтому промах для них существенно больше 5 м.

Второй способ управления преследователя дает более плохие результаты, чем первый или третий.

Графики на рис. 4 показывают изменение параметров вдоль единичных реализаций для сочетаний SM–RN и SM–GM. Начальные координаты: $x(t_0) = 80000$ м, $z(t_0) = 100$ м, $\dot{x}(t_0) = -5000$ м/с, $\dot{z}(t_0) = 10$ м/с. Представлены зависимости от t замеряемой ω_M и истинной ω угловых скоростей, графики текущего импульсного управления. В отличие от способа RN при игровом способе GM график $\omega_M(t)$ не носит характера случайной функции – скорее это функция того же типа, что и $\omega(t)$. Промах для сочетания SM–RN составляет 0.17 м, для сочетания SM–GM он равен 1.88 м. В первом варианте израсходовано 43 импульса, во втором – 64 импульса.

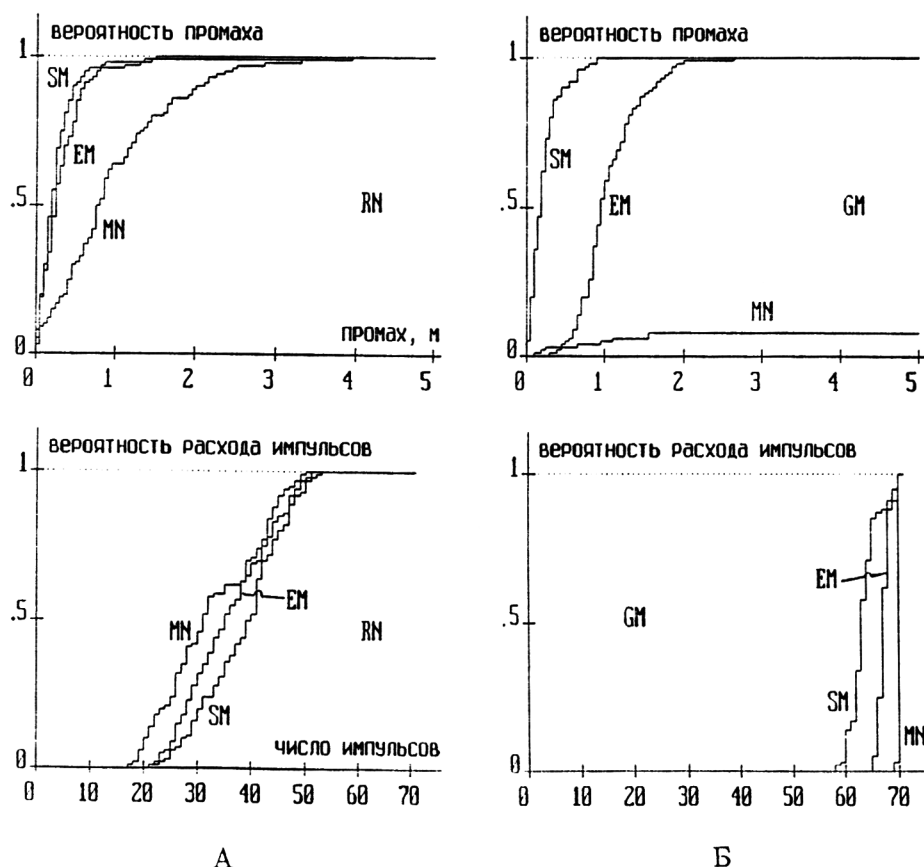


Рис. 3. Законы распределения вероятностей промаха и числа истраченных импульсов; А – случайная помеха, Б – игровая помеха.

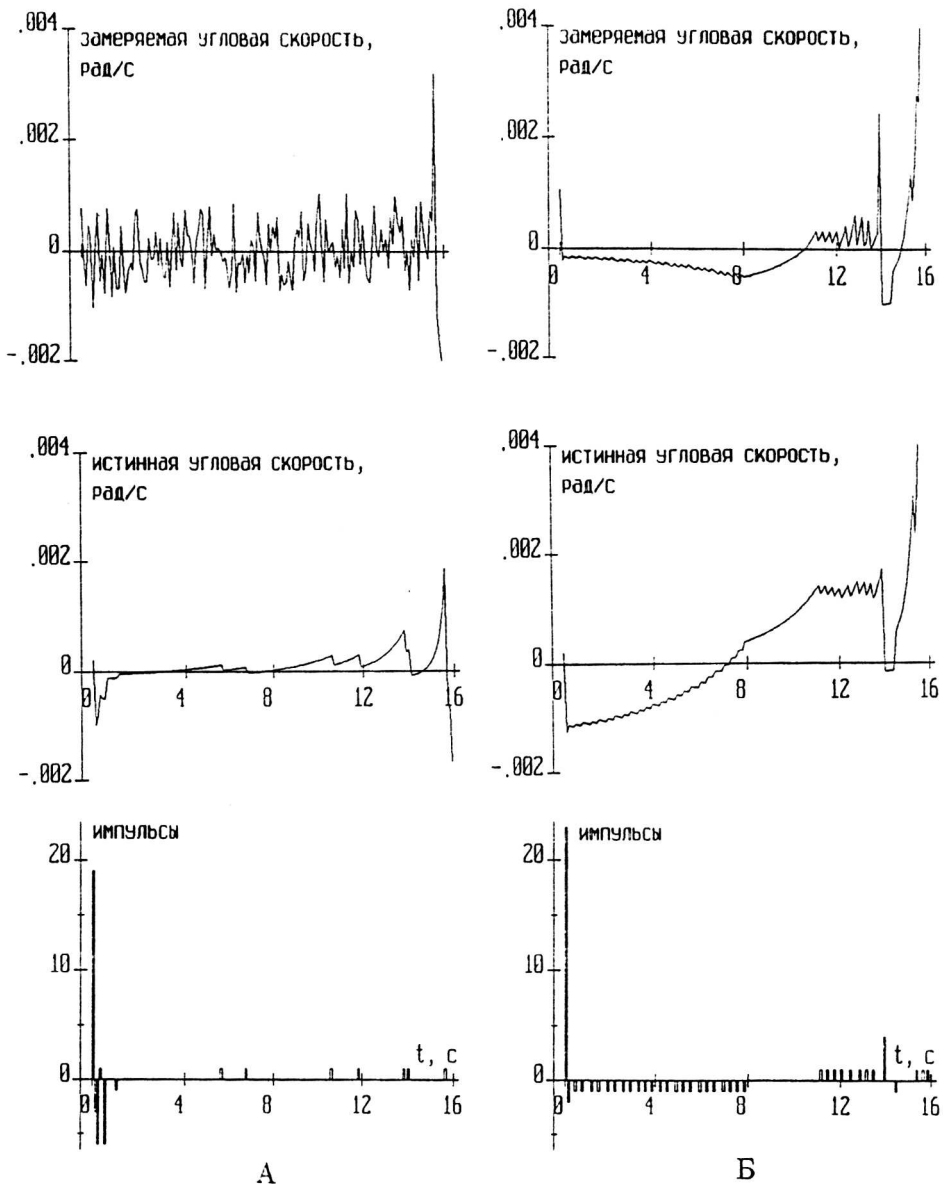


Рис. 4. Изменение параметров вдоль единичных реализаций; А – случайная помеха, Б – игровая помеха.

Замечание

Предложенное решение плоской задачи преследования можно использовать и в пространственном трехмерном случае, когда помимо координаты z добавляется аналогичная ей координата y . Пусть управляемое воздействие может подаваться по произвольному направлению в плоскости y, z (поперечная плоскость). Поступим следующим образом. Используя результаты решения плоской задачи, рассчитываем фиктивные управляемые воздействия (без округления с учетом дискретности) по компонентам y, z . Обозначим их k_y, k_z . Затем вычисляем

$\sqrt{k_y^2 + k_z^2}$ и огрубляем до целого числа. Направление действия найденного числа импульсов задаем через k_y, k_z .

Поступила 13.10.91

СПИСОК ЦИТИРОВАННОЙ ЛИТЕРАТУРЫ

1. Красовский Н.Н. Игровые задачи о встрече движений. – М.: Наука, 1970. – 420 с.
2. Красовский Н.Н., Субботин А.И. Поэтические дифференциальные игры. – М.: Наука, 1974. – 456 с.
3. Куржанский А.Б. Управление и наблюдение в условиях неопределенности. – М.: Наука, 1977. – 392 с.
4. Черноуско Ф.Л., Меликян А.А. Игровые задачи управления и поиска. – М.: Наука, 1978. – 270 с.
5. Шелементьев Г.С. Об одной задаче коррекции движения // Прикл. математика и механика. – 1969. – Т.33, Вып.2. – С.251–260.
6. Пацко В.С. Модельный пример игровой задачи преследования с неполной информацией. I, II // Дифференц. уравнения. – 1971. – Т.7, N. 3. – С.424–435.; 1972. – Т.8, N. 8. – С.1423–1434.
7. Меликян А.А., Черноуско Ф.Л. Некоторые минимаксные задачи управления с неполной информацией // Прикл. математика и механика. – 1971. – Т.35, Вып.6.– С.952–961.
8. Красовский Н.Н., Осипов Ю.С. Задача управления с неполной информацией // Изв. АН СССР. Механика твердого тела. – 1973. – N. 4.– С.9–14.
9. Кряжимский А.В., Филиппов С.Д. Об одной игровой задаче сближения двух точек на плоскости в условиях неполной информации // Задачи упр. с неполной информацией. Свердловск. – 1976. – С.62–77.
10. Субботина Н.Н., Субботин А.И. Игровая задача управления при неполной информации // Изв. АН СССР. Техн. кибернетика. – 1977. N. 5. – С.14–23.
11. Merz A.W. Stochastic guidance laws in satellite pursuit-evasion // Comput. Math. Appl. – 1987. – V.13, N. 1–3.– P.151–156.
12. Merz A.W. Noisy satellite pursuit-evasion guidance // J. Guidance. – 1989. – V.12, N. 6.– P.901–905.
13. Неупокоев Ф.К. Стрельба зенитными ракетами. – М.: Воениздат, – 1991. – 343 с.
14. Розыев И., Субботин А.И., Тарасьев А.М. Об одной игровой задаче сближения для двух слабо управляемых объектов / ИММ УНЦ АН СССР. – Свердловск. – 1986. – 25 с.– Деп. в ВИНТИ 29.12. 86, N 8976 - B.
15. Пашков А.Г. Об одной игре сближения // Прикл. математика и механика. – 1970. – Т.34, Вып.5.– С.804–811.